

# Ionomycin 誘発性 $[^3\text{H}]$ GABA 放出における一酸化窒素の機能的意義

肥後 敦子

$\text{Ca}^{2+}$  ionophore である ionomycin が  $\text{Ca}^{2+}$  依存性神経伝達物質放出を誘発すること、および NO 生成を誘発すること、さらに NO が神経伝達物質放出を促進させることから、ionomycin 誘発性神経伝達物質放出が NO の生成を介して行われる可能性が考えられる。そこで本研究では ionomycin 誘発性  $[^3\text{H}]$  GABA 放出における NO の機能的役割を、初代培養マウス大脳皮質神経細胞を用いて検討した。Ionomycin は、神経細胞からの  $[^3\text{H}]$  GABA 放出を用量依存性に増加させた。この ionomycin 誘発性  $[^3\text{H}]$  GABA 放出は、NO scavenger である hemoglobin および NO 合成酵素阻害薬である  $\text{N}^{\text{G}}\text{-methyl-L-arginine}$  および  $\text{N}^{\omega}\text{-nitro-L-arginine}$  により用量依存性に抑制された。 $\text{Na}^+$  依存性 GABA 損失輸送阻害薬である nipecotic acid および NO-711 は用量依存性に ionomycin 誘発性  $[^3\text{H}]$  GABA 放出を約50%抑制した。また、それぞれ L型および P/Q型 voltage-dependent  $\text{Ca}^{2+}$  channel (VDCC) 阻害薬である nifedipine および  $\omega$ -agatoxin VIA の共存下では ionomycin 誘発性  $[^3\text{H}]$  GABA 放出は約50%減少し、さらにこの条件下に nipecotic acid あるいは NO-711 を反応系に添加することにより ionomycin 誘発性  $[^3\text{H}]$  GABA 放出は完全に消失した。Ionomycin 誘発性  $[^3\text{H}]$  GABA 放出は hydroxyl radical scavenger である dimethylthiourea により用量依存性に増加した。以上の実験成績から、ionomycin 誘発性  $[^3\text{H}]$  GABA 放出は ionomycin による細胞内への  $\text{Ca}^{2+}$  流入に引き続く NOS 活性化とともに伴う NO の生成を介して誘発されると考えられる。

(平成12年3月11日受理)

## Significance of Nitric Oxide in Ionomycin-evoked $[^3\text{H}]$ GABA Release from Mouse Cerebral Cortical Neurons

Atsuko HIGO

Functional significance of nitric oxide (NO) in ionomycin-evoked  $[^3\text{H}]$   $\gamma$ -aminobutyric acid (GABA) release was investigated using primary culture of mouse cerebral cortical neurons. Ionomycin increased  $[^3\text{H}]$  GABA release in a dose-dependent manner. This stimulatory action of ionomycin on  $[^3\text{H}]$  GABA release was dose-dependently inhibited by hemoglobin, a NO scavenger, and a NO synthase inhibitor,  $\text{N}^{\text{G}}\text{-methyl-L-arginine}$ , suggesting that the ionomycin-evoked  $[^3\text{H}]$  GABA release from the neurons is mediated by NO production. Inhibitors for  $\text{Na}^+$ -dependent carrier-mediated GABA transport, nipecotic acid and 1-(2-((diphenylmethylene) amino) oxy) ethyl-1,2,5,6-tetrahydro-3-pyridine-carboxylic acid (NO-711), reduced the ionomycin-evoked  $[^3\text{H}]$  GABA release by about 50%. Similarly, the release was also reduced

by about 50% in the concomitant presence of  $\omega$ -agatoxin VIA, an inhibitor specific for P/Q type voltage-dependent  $\text{Ca}^{2+}$  channel (VDCC), and nifedipine, an inhibitor for L-type VDCC. Either nipecotic acid or NO-711 completely abolished the ionomycin-evoked [ $^3\text{H}$ ] GABA release in the presence of these two inhibitors for VDCC. In addition, a hydroxyl radical scavenger, dimethylthiourea, dose-dependently facilitated the ionomycin-evoked [ $^3\text{H}$ ] GABA release. These effects observed in the presence of  $\text{Na}^+$ -dependent carrier-mediated GABA transport inhibitors, inhibitors for VDCC, and dimethylthiourea were similar to NO-induced effects previously reported. These results lead to the conclusion that the ionomycin-evoked [ $^3\text{H}$ ] GABA release is mediated via the formation of NO. (Accepted on March 11, 2000) *Kawasaki Igakkaishi* 26(1)

: 13-23, 2000

**Key Words** ① Ionomycin ② Nitric oxide ③ GABA release  
④ Cerebral cortical neurons

## 緒 言

Ionomycin は  $\text{Ca}^{2+}$  ionophore の 1 つであり、神経細胞膜における  $\text{Ca}^{2+}/\text{H}^+$  交換を介した細胞内への  $\text{Ca}^{2+}$  流入を誘発させる作用を有しており<sup>1)~3)</sup>、この作用を応用して従来より薬理学的研究において  $\text{Ca}^{2+}$  依存性の神経伝達物質放出を誘発させる手段として利用してきた。また、最近の研究により、ionomycin が神経伝達物質および血管内皮細胞などに局在する  $\text{Ca}^{2+}$  依存性一酸化窒素 (NO) 合成酵素 (NOS) の活性化を誘発し、cyclic GMP 生成などの生理的機能の変化をもたらすことが報告されている<sup>4)~9)</sup>。

一方、NO は神経細胞において諸種の神経伝達物質の放出を促進する因子の 1 つとして作用していることが、多くの研究により明らかにされている。すなわち、NO generator である sodium nitroprusside (SNP) や S-nitroso-N-acetylpenicillamine (SNAP) などの諸種の脳組織標品への直接的な適用により、線条体からの dopamine 放出<sup>10)</sup>、大脳皮質神経細胞からの acetylcholine (ACh) および  $\gamma$ -aminobutyric acid (GABA) の放出<sup>11)~14)</sup>が、また海馬切片からは ACh および norepinephrine の放出<sup>15)</sup>が、それぞれ増加することが報告されており、これらの実験成績は細胞外に添加した外因性の NO が神

経伝達物質放出促進作用を有することを示すものであると考えられる。これに加え、N-methyl-D-aspartate (NMDA) により視床下部からの norepinephrine の放出<sup>16)</sup>、線条体からの dopamine 放出<sup>17), 18)</sup>、大脳皮質神経細胞および線条体神経細胞からの ACh および GABA 放出<sup>13), 14), 19), 20)</sup>が、いずれも増大することが明らかにされている。これらの NMDA 刺激による神経伝達物質の放出促進は、NMDA が NMDA 受容体を活性化させ、細胞内において NO 生成を促進させること<sup>21)</sup>から、内因性に生成された NO により誘発されると考えられている。

上述したように、内因性に生成された NO が神経伝達物質の放出を誘発すること、神経細胞に局在する NOS が  $\text{Ca}^{2+}$  依存性であること<sup>22)</sup>および ionomycin が細胞内への  $\text{Ca}^{2+}$  流入を誘発し、NO 生成を促進させること、などを勘案すると、ionomycin により誘発される神経細胞からの神経伝達物質放出は、NO を介した神経細胞機能修飾作用である可能性が高いと考えられるが、この点について言及した研究はなされていない。そこで本研究では、初代培養マウス大脳皮質神経細胞を用い、ionomycin により誘発される [ $^3\text{H}$ ] GABA 放出を測定し、この放出と従来より知られている NO 誘発性神経伝達物質放出の薬理学的特徴とを比較検討することにより、ionomycin 誘発性神経伝達物質放出が

NO 生成を介して行われていることを明らかにすることを試みた。

### 実験材料および実験方法

#### 1) 大脳皮質神絆細胞の単離および初代培養

マウス大脳皮質神絆細胞の単離および初代培養は、既報に準じて行った<sup>23)</sup>。すなわち、胎齢15日目の ddY 系マウス胎児より新皮質を摘出し、髄膜を除去した後、Ca<sup>2+</sup>-free Puck's 液中で剪刀を用いて細切し、0.1% trypsin により37℃、5分間の処理を加え、ついでバストールピペットにより残存した組織片を機械的に破碎した。得られた細胞懸濁液に遠心操作 (900 g, 4℃, 2分) を加え沈渣を得た。得られた沈渣を15%ウシ胎児血清、10 mM N-tris (hydroxymethyl) methyl-2-aminoethanesulfonic acid (TES), および10 mM N-2-hydroxyethylpiperazine-N'-2 ethanesulfonic acid (HEPES) を含有する Dulbecco's modified Eagle's medium (DMEM) により細胞数が  $3 \times 10^6$  個/ml となるように調整して浮遊させ、この細胞懸濁液の1 ml を使用前24時間予め poly-L-lysine で処理した Falcon "Primaria" RT 培養皿 (直径: 35 mm) に添加した。この細胞を37℃、湿度100%, air 95%/CO<sub>2</sub> 5% の条件下で3日間培養した。ついで10 μM cytosine arabinoside および10%ウマ血清を含有する DMEM 中で24時間培養することにより、非神絆細胞の増殖の抑制を行った。その後、10%ウマ血清含有 DMEM 中で培養を継続した。培養液は4日毎に新鮮な10%ウマ血清含有 DMEM に交換し、培養後14日の神絆細胞を実験に使用した。なお、免疫組織学的検討などから、本研究に用いた細胞の95%以上が神絆細胞であることが確認されている<sup>23)</sup>。

#### 2) 神絆細胞からの [<sup>3</sup>H] GABA 放出の測定

初代培養マウス大脳皮質神絆細胞からの [<sup>3</sup>H]GABA 放出の測定はすでに報告されている方法に準じて行った<sup>14)</sup>。すなわち、神絆細胞を予め氷冷した20 mM Hepes を含有する Krebs-Ringer bicarbonate Buffer (KRB-Hepes: pH7.4,

137 mM NaCl, 4.8 mM KCl, 1.2 mM KH<sub>2</sub>PO<sub>4</sub>, 2.7 mM CaCl<sub>2</sub>, 1.2 mM MgSO<sub>4</sub> · 6 H<sub>2</sub>O, 25 mM NaHCO<sub>3</sub>, 10 mM glucose) で3回洗浄後、2 nM [<sup>3</sup>H] GABA を添加し、37℃で60分間の incubation を行った。その後、再び氷冷した KRB-Hepes で3回洗浄し、ついで37℃に保温した KRB-Hepes を培養皿に添加し、さらに37℃で10分間の incubation を行った。神絆細胞からの [<sup>3</sup>H] GABA の放出実験は、KRB-Hepes を5分毎に新鮮な KRB-Hepes に変更しつつ、合計25分間の incubation を行った。なお、第1回目の5分間の incubation を第1 interval, 2回目のそれを第2 interval とし、5回目のそれを第5 interval とした。Ionomycin の添加は第4回目の incubation 開始直前に行った。NOS 阻害薬である N<sup>G</sup>-methyl-L-arginine (M-Arg) および N<sup>ω</sup>-nitro-L-arginine (N-Arg) は放出実験を行う前の10分間の incubation および放出実験に使用するすべての KRB-Hepes 中に添加した。Hemoglobin, GABA 再取り込み阻害薬である nipecotic acid, 1-(2-(((diphenylmethylene) amino) oxy) ethyl)-1, 2, 5, 6-tetrahydro-3-pyridine-carboxylic acid (NO-711), それぞれ P/Q型およびL型電位依存性Ca<sup>2+</sup>チャネル (VDCC) 阻害薬である  $ω$ -agatoxinVIA ( $ω$ -ATX) および nifedipine, および hydroxyl radical scavenger である dimethylthiourea はいずれも ionomycin 添加直前に incubation buffer 中に添加した。放出実験において、各 interval で得られた KRB-Hepes の一部をシンチレーションバイアルに移し、KRB-Hepes 中に放出された放射活性を液体シンチレーションカウンターで測定した。第3 interval で放出された [<sup>3</sup>H] GABA 量を基礎放出量とし、第4 interval で放出された [<sup>3</sup>H] GABA 量を刺激放出量とし、刺激放出量はすべて基礎放出量の百分率で表示した。

なお、放出実験には、KRB-Hepes 中に放出される [<sup>3</sup>H] GABA および神絆細胞に取り込まれた [<sup>3</sup>H] GABA の代謝的分解を阻害するために、100 μM aminoxyacetic acid を含有し

たKRB-Hepesを用いた。

放出実験に使用した神経細胞は0.5 M NaClにより溶解して、神経細胞に含有される蛋白質量の測定に供した。

実験に使用したionomycinはすべてdimethyl sulfoxide(DMSO)に溶解したものを用い、KRB-Hepesに添加する場合には、KRB-Hepesの990 ml中に10 ml添加するようにした。予備実験において、この濃度におけるDMSOはlactic dehydrogenase(LDH)の細胞外への漏出、およびtrypan blue色素排泄試験の検討から、神経細胞に傷害を与えないことを確認した。

### 3) Lactic dehydrogenase(LDH)活性の測定

Ionomycin曝露による細胞毒性の有無について、LDHの細胞外からの漏出率について以下の如くの検討を行った。すなわち、KRB-HEPES中にionomycinをそれぞれ最終濃度が0.1および3 mMとなるように添加し、37°C、5分間のincubationを行ったのち、ionomycin含有bufferを吸引除去し、新鮮なKRB-HREPES中で神経細胞をさらに37°C、1時間のincubationを行った。細胞外液および細胞質内のLDH活性をLDH Cytotoxicity Detection kitを用いて測定し、細胞外液中LDH活性を細胞外液中LDH活性および細胞質内LDH活性の総和で除して、その百分率を求め、LDH活性漏出率とした。

### 4) 蛋白質の定量

神経細胞に含有される蛋白量は、神経細胞を0.5 M NaOHに溶解した試料を用い、ウシ血清albuminを標準物質として、Lowryらの方法<sup>24)</sup>により測定した。

### 5) 統計学的解析

得られたデータはすべてmean±S.E.M.で表示した。統計的有意差の検討はone-way ANOVAの適用後、それぞれの図説明中に記載した統計法により処理することにより行った。

### 6) 試薬

[<sup>3</sup>H]GABA(2,819 GBq/mmol)はNew England Nuclear(Boston, U.S.A.)より購入した。Ionomycin, nifedipineおよびhemoglobin

はSigma Chemicals(St. Louis, U.S.A.)の製品を使用した。また、 $\omega$ -ATXはペプチド研究所(大阪)より入手した。LDH Cytotoxicity Detection kitはタカラ(東京)より購入した。その他の実験に使用した試薬は市販の特級試薬を用いた。

## 実験結果

### 1) Ionomycin誘発性 [<sup>3</sup>H]GABA放出におけるNOの関与

Ionomycinは初代培養マウス大脳皮質神経細胞からの [<sup>3</sup>H]GABA放出を用量依存性に増加させた(Fig. 1)。すなわち、ionomycinは1  $\mu$ Mまでの濃度範囲において濃度依存性に [<sup>3</sup>H]GABA放出を増加させた(Fig. 1)。一方、生理学的な神経細胞膜の発火に類似した神経細胞膜の発火を誘発する30 mM KClによっても有意な [<sup>3</sup>H]GABAの放出増加が生じ、その放出の程度は0.1~0.3  $\mu$ Mのionomycinにより誘発された [<sup>3</sup>H]GABA放出の程度とほぼ同様であった(Fig. 1)。

0.1  $\mu$ M ionomycinの存在下ではLDHの細胞外漏出は対照群と比較して変化が認められなかつ

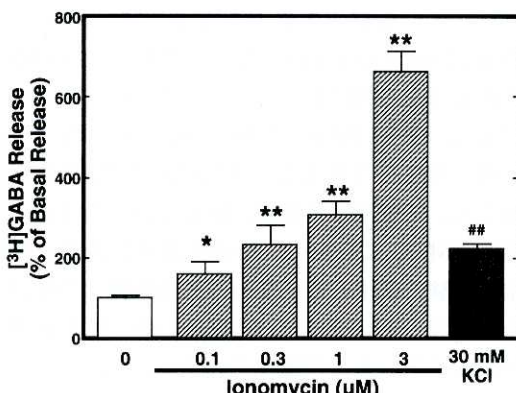


Fig. 1. Effects of ionomycin and 30 mM KCl on [<sup>3</sup>H]GABA release from mouse cerebral cortical neurons. Each value was obtained from four separate experiments. \*p < 0.05, \*\*p < 0.01, compared with the value determined in the absence of ionomycin and KCl (Dunnett's test). ##p < 0.01, compared with the value determined in the absence of ionomycin and KCl (Bonferroni's test).

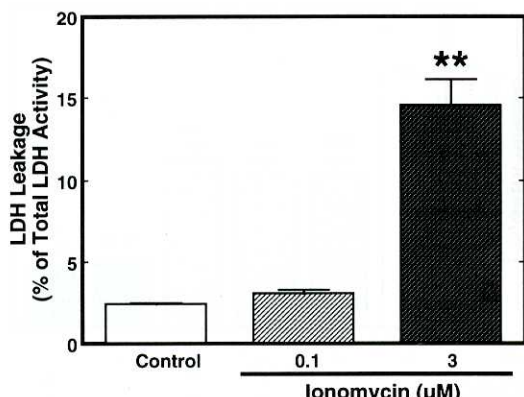


Fig. 2. Effect of ionomycin on leakage of lactic dehydrogenase (LDH) from mouse cerebral cortical neurons. Each value was obtained from four separate experiments. \*\* $p < 0.05$ , compared with the value determined in the absence of ionomycin.

た。一方、 $3 \mu\text{M}$  濃度の ionomycin は著明な [ $^3\text{H}$ ]GABA の細胞外へ漏出を誘発し、しかも LDH の細胞外漏出が有意に増加したことから (Fig. 2)，この濃度では神経細胞膜の傷害が生じ、 [ $^3\text{H}$ ]GABA も細胞外へ漏出すると考えられた。従って、 $30 \text{ mM}$  KCl による [ $^3\text{H}$ ]GABA 放出量と ionomycin 誘発性 [ $^3\text{H}$ ]GABA 放出量との比較、および LDH 活性の細胞外への漏出率とから、以下の実験においては  $0.1 \mu\text{M}$  の ionomycin を用いた。

Ionomycin が細胞内への  $\text{Ca}^{2+}$  流入を介して NOS 活性を亢進させ、NO 生成の亢進と共に伴う [ $^3\text{H}$ ]GABA 放出を誘発させる可能性について、まず NOS 阻害薬である M-Arg および N-Arg を用い、NO 生成の阻害による変化について検討した。その結果、Figure 3 に示すように、M-Arg は用量依存性に ionomycin 誘発性 [ $^3\text{H}$ ]GABA 放出を抑制し、 $100 \mu\text{M}$  の濃度では ionomycin の [ $^3\text{H}$ ]GABA 放出促進作用は完全に消失するのが観察された。同様に、 $100 \mu\text{M}$  の N-Arg も完全に ionomycin 誘発性 [ $^3\text{H}$ ]GABA 放出を抑制した (Fig. 3)。

また、細胞外液中に NO scavenger である hemoglobin が存在する条件下においても、ionomycin 誘発性 [ $^3\text{H}$ ]GABA 放出は濃度依存性に抑制され、 $40 \mu\text{M}$  の hemoglobin の共存に

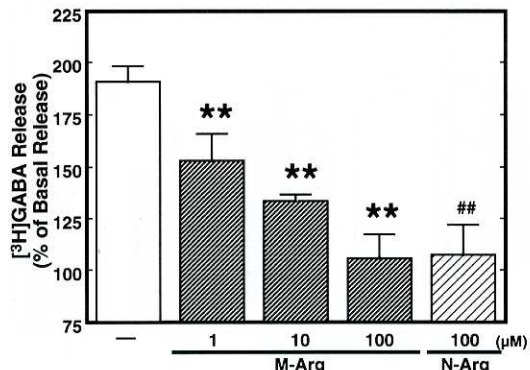


Fig. 3. Effects of  $\text{N}^{\text{G}}$ -methyl-L-arginine (M-Arg) and  $\text{N}^{\text{w}}$ -nitro-L-arginine (N-Arg) on ionomycin ( $0.1 \mu\text{M}$ ) -evoked [ $^3\text{H}$ ]GABA release from mouse cerebral cortical neurons. Each value was obtained from four separate experiments. \*\* $p < 0.01$ , compared with the value determined in the presence of ionomycin alone (Dunnett's test). ## $p < 0.01$ , compared with the value determined in the presence of ionomycin alone (Bonferroni's test).

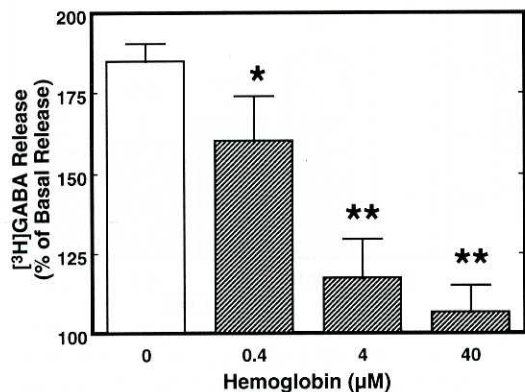


Fig. 4. Effect of hemoglobin on ionomycin ( $0.1 \mu\text{M}$ ) -evoked [ $^3\text{H}$ ]GABA release from mouse cerebral cortical neurons. Each value was obtained from four separate experiments. \* $p < 0.05$ , \*\* $p < 0.01$ , compared with the value determined in the presence of ionomycin alone (Dunnett's test).

より、その放出は完全に抑制された (Fig. 4)。

これらに実験成績から、ionomycin の [ $^3\text{H}$ ]GABA 放出促進作用は、NO 生成を介して誘発されると考えられる。

## 2) Ionomycin 誘発性 [ $^3\text{H}$ ]GABA 放出の薬理学的特性

Ionomycin 誘発性 [ $^3\text{H}$ ]GABA 放出が NO 生成を介した変化であること、および NO により

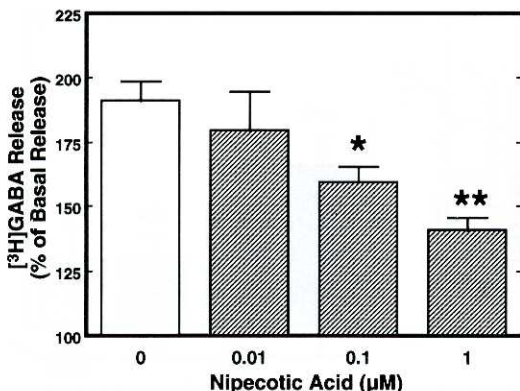


Fig. 5. Effect of nipecotic acid on ionomycin ( $0.1 \mu\text{M}$ ) - evoked [ $^3\text{H}$ ] GABA release from mouse cerebral cortical neurons. Each value was obtained from four separate experiments. \* $p < 0.05$ , \*\* $p < 0.01$ , compared with the value determined in the presence of ionomycin alone (Dunnett's test).

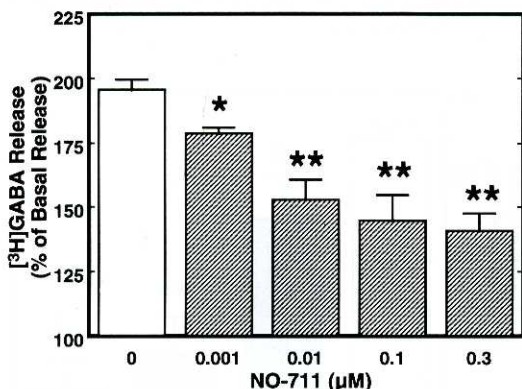


Fig. 6. Effect of NO-711 on ionomycin ( $0.1 \mu\text{M}$ ) - evoked [ $^3\text{H}$ ] GABA release from mouse cerebral cortical neurons. Each value was obtained from four separate experiments. \* $p < 0.05$ , \*\* $p < 0.01$ , compared with the value determined in the presence of ionomycin alone (Dunnett's test).

活発される神経伝達物質放出は  $\text{Ca}^{2+}$  依存性と  $\text{Na}^+$  依存性 GABA 損体輸送系の逆過程の 2 つの放出機構により行われていることが、報告されている<sup>25)</sup>。Ionomycin 誘発性 [ $^3\text{H}$ ] GABA 放出の特性について検討を加えた。

Ionomycin 誘発性 [ $^3\text{H}$ ] GABA 放出は、 $\text{Ca}^{2+}$  存在下において  $\text{Na}^+$  依存性 GABA 損体輸送系の阻害薬である nipecotic acid および NO-711 によりいずれも用量依存性に抑制され (Fig. 5, 6), それぞれ 1 および  $0.1 \mu\text{M}$  の濃度において最大の抑制作用を示した。これら  $\text{Na}^+$  依存性

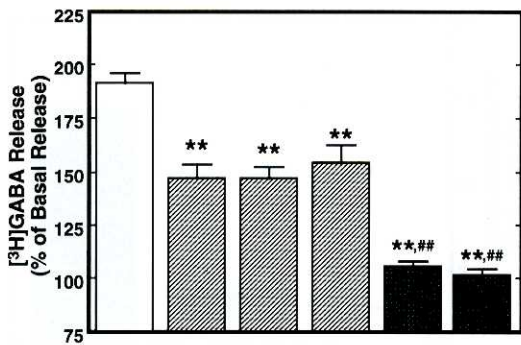


Fig. 7. Effects of nipecotic acid (NA), NO-711,  $\omega$ -agatoxin VIA ( $\omega$ -ATX), and nifedipine (Nif) on ionomycin ( $0.1 \mu\text{M}$ ) -evoked [ $^3\text{H}$ ] GABA release from mouse cerebral cortical neurons. Each value was obtained from four separate experiments. \*\* $p < 0.01$ , compared with the value determined in the presence of ionomycin alone (Bonferroni's test). \*\*\* $p < 0.05$ , compared with the values determined in the presence of ionomycin + Na or ionomycin + NO-711 (Bonferroni's test).

存性 GABA 損体輸送阻害薬の最大抑制作用を示す濃度における ionomycin 誘発性 [ $^3\text{H}$ ] GABA 放出 NO 抑制率はいずれも約 50% であった (Fig. 5, 6)。

NO が神経細胞膜上に存在する VDCC に対し, L 型および P/Q 型 VDCC を活性化させる一方, N 型 VDCC を抑制すること<sup>26)</sup>が報告されていることから, それぞれの拮抗薬である nifedipine および  $\omega$ -ATX を同時に放出実験系に添加により, Figure 7 に示すように ionomycin 誘発性 [ $^3\text{H}$ ] GABA 放出は約 50% 低下し, さらに nipecotic acid ないしは NO-711 を反応系に添加した場合には, ionomycin 誘発性 [ $^3\text{H}$ ] GABA 放出の放出は消失した (Fig. 7)。

Hydroxyl radical scavenger により hydroxyl radical を放出実験系から除去することにより, NO 誘発性神経伝達物質放出が増強されることがすでに報告されている<sup>27)</sup>。そこで本研究では, ionomycin 誘発性 [ $^3\text{H}$ ] GABA 放出が hydroxyl radical scavenger の 1 つである dimethylthiourea を放出実験系に添加することにより検討を行った。その結果, dimethylthiourea は用量依存性

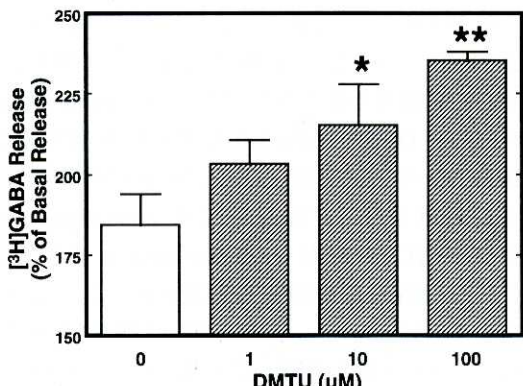


Fig. 8. Effect of dimethylthiourea (DMTU) on ionomycin ( $0.1 \mu\text{M}$ ) -evoked [ $^3\text{H}$ ] GABA release from mouse cerebral cortical neurons. Each value was obtained from four separate experiments. \* $p < 0.05$ , \*\* $p < 0.01$ , compared with the value determined in the presence of ionomycin alone (Dunnett's test).

に ionomycin 誘発性 [ $^3\text{H}$ ] GABA 放出を増強した (Fig. 8).

## 考 察

$\text{Ca}^{2+}$  ionophore の 1 つである ionomycin はその細胞内への  $\text{Ca}^{2+}$  流入促進作用から、神経化学的および神経薬理学的研究などにおいて、 $\text{Ca}^{2+}$  依存性神経伝達物質放出などを誘発させる手段の 1 つとして広く応用してきた。さらに、近年 ionomycin が NO 生成促進作用を有することが明らかにされてきており<sup>4)~9)</sup>、一方、NO が神経細胞において神経伝達物質放出促進作用を有することが知られてきている。これらの観点を勘案すると、ionomycin 誘発性神経伝達物質放出作用が NO の生成を介した可能性が考えられ、本研究ではこの点を明らかにする目的で行われた。

Ionomycin は本研究で示したように、初代培養マウス大脳皮質神経細胞から用量依存性に神経伝達物質放出を誘発する。しかしながら、本研究で用いた神経細胞に対しては、 $3 \mu\text{M}$  より高い濃度では LDH 漏出量が著明に増大するのが認められ、ionomycin による神経細胞膜傷害が生じていることは明らかと考えられる。事

実、従来より高濃度では ionomycin が細胞毒性を示すことが知られている<sup>28), 29)</sup>。また、本研究で使用した神経細胞の場合、ionomycin 非処理細胞において認められた LDH 活性の細胞外への漏出率は既報のそれにほぼ一致していた<sup>30)</sup>。従って、本研究では [ $^3\text{H}$ ] GABA 放出の促進には  $0.1 \mu\text{M}$  ionomycin を使用した。

Ionomycin 誘発性 [ $^3\text{H}$ ] GABA 放出は NOS 阻害薬である M-Arg および N-Arg の共存下において有意に抑制されていることから、この ionomycin の神経伝達物質放出促進作用は ionomycin により神経細胞内において生成された内因性 NO により生じていることは明らかと考えられる。同様に、N-methyl-D-aspartate (NMDA) 受容体刺激により生成される内因性 NO によっても神経伝達物質放出が誘発されることが報告されている<sup>13), 31), 32)</sup>。さらに、NO scavenger である hemoglobin の細胞外液中への添加により ionomycin 誘発性 [ $^3\text{H}$ ] GABA 放出が有意に抑制されている。本研究で用いた hemoglobin の分子量が約 60 kDa であることから、このような大分子が放出実験における 5 分間の反応時間中に神経細胞へ取り込まれる可能性は極めて低いと考えられることから、ionomycin により神経細胞内において生成された NO は細胞膜を通過したのち、細胞膜外側より作用して神経伝達物質放出を誘発しているものと考えられる<sup>13), 32)</sup>。従って、ionomycin による [ $^3\text{H}$ ] GABA 放出促進作用は神経細胞内において生成された NO を介して行われることは確実であると考えられる。

NO により誘発される神経伝達物質放出にはいくつかの薬理学的特性が認められる。そこで、本研究では ionomycin 誘発性 [ $^3\text{H}$ ] GABA 放出が NO を介していることを確認するために、これらの薬理学的特性を検討した。最近の多くの研究から神経細胞からの神経伝達物質放出は  $\text{Ca}^{2+}$  依存性放出機構および  $\text{Na}^+$  依存性神経伝達物質担体輸送系の逆過程を介して行われることが明らかにされており<sup>33)</sup>、NO もまた  $\text{Ca}^{2+}$  依存性放出機構および  $\text{Na}^+$  依存性 GABA 担体

輸送系の逆過程の2つの異なるGABA放出機構によりGABAの放出を誘発することが報告されている<sup>25)</sup>。これらの観点から、まず本研究ではionomycin誘発性 [<sup>3</sup>H] GABA放出がこれら2つの異なるGABA放出機構により行われているか否かについて検討した。本研究においてCa<sup>2+</sup>存在下ではNa<sup>+</sup>依存性GABA担体輸送系阻害薬であるnipecotic acidおよびNO-711はいずれも用量依存性にionomycin誘発性 [<sup>3</sup>H] GABA放出を抑制するのみならず、その最大抑制作用発現時においては、約50%が阻害され、このことから、この阻害された部分は、Na<sup>+</sup>依存性GABA担体輸送系であることが明らかとなった。一方、NO generatorにより誘発される [<sup>3</sup>H] GABA放出はCa<sup>2+</sup>の反応系の除去あるいはNa<sup>+</sup>依存性GABA担体輸送系阻害薬によりそれぞれ約50%の抑制がみられ、さらに反応液中からのCa<sup>2+</sup>除去とNa<sup>+</sup>依存性GABA担体輸送系阻害薬の添加を同時に行った場合には、その放出は完全に消失している<sup>25)</sup>。従って、本研究でみられたNa<sup>+</sup>依存性GABA担体輸送系阻害薬の添加によるionomycin誘発性 [<sup>3</sup>H] GABA放出の抑制はNO誘発性 [<sup>3</sup>H] GABA放出の場合と類似しているのみならず<sup>33)</sup>、この操作によりみられるionomycin誘発性 [<sup>3</sup>H] GABA放出の抑制の程度とNO誘発性 [<sup>3</sup>H] GABA放出の程度<sup>25)</sup>もまたほとんど一致している。従って、これらの実験成績から、ionomycin誘発性 [<sup>3</sup>H] GABA放出はNO生成を介した変化であることを支持すると考えられる。

Ionomycin誘発性 [<sup>3</sup>H] GABA放出における細胞外Ca<sup>2+</sup>流入に起因するCa<sup>2+</sup>依存性GABA放出を検討する場合、細胞外Ca<sup>2+</sup>の除去を行うことによる検討を行えない。しかしながら、NOは神経細胞膜の発火を誘発する<sup>26), 34), 35)</sup>とともに、その結果としてVDCCを開口させて細胞外からのCa<sup>2+</sup>流入の増加をもたらす<sup>26)</sup>が、N型VDCCに対してNOは抑制的に作用することが報告されている<sup>26)</sup>。しかもNOにより誘発されるCa<sup>2+</sup>流入はL型および

P/Q型VDCC阻害薬の共存により完全に阻害される<sup>26)</sup>。そこで本研究ではこのNOのVDCCに対する作用を応用してionomycin誘発性 [<sup>3</sup>H] GABA放出のうちのCa<sup>2+</sup>依存性放出について検討したところ、それぞれL型およびP/Q型VDCC阻害薬であるnifedipineおよび $\omega$ -ATXの共存下ではionomycin誘発性 [<sup>3</sup>H] GABA放出は約50%阻害され、この条件下にさらにnipecotic acidあるいはNO-711の添加によりその放出が完全に消失することが明らかにされた。これらの実験成績はionomycin誘発性 [<sup>3</sup>H] GABA放出の約50%がCa<sup>2+</sup>依存性放出機構により、また残余の約50%がNa<sup>+</sup>依存性GABA担体輸送系の逆過程を介して行われていることを意味すると判断される。

NOはsuperoxideとの化学的反応によるperoxynitriteの形成後、さらに分解されてhydroxyl radicalを生成する<sup>36), 37)</sup>。この生成されたhydroxyl radicalがNO誘発性神経伝達物質放出を修飾することがすでに報告されている。すなわち、hydroxyl radical scavengerによりhydroxyl radicalを除去すると、神経細胞からのacetylcholineおよびGABA放出の増大が生じると報告されている<sup>27), 38)~40)</sup>。本研究において、hydroxyl radical scavengerとしてdimethylthioureaを用いてionomycin誘発性 [<sup>3</sup>H] GABA放出に及ぼす影響を検討したところ、dimethylthioureaは明らかにその放出を増強していた。この実験成績は本研究で示した他の実験成績と同様に、ionomycin誘発性 [<sup>3</sup>H] GABA放出がNO生成を介して生じていることを支持する所見であると考えられる。

## 結語

Ca<sup>2+</sup>ionophoreであるionomycinがCa<sup>2+</sup>依存性神経伝達物質放出を誘発すること、およびNO生成を誘発すること、さらにNOが神経伝達物質放出を促進させることから、本研究ではionomycin誘発性 [<sup>3</sup>H] GABA放出におけるNOの機能的役割を初代培養マウス大脳皮質神

経細胞を用いて検討し、以下の結果を得た。

- 1) Ionomycin は、神経細胞からの [<sup>3</sup>H]GABA 放出を用量依存性に増加させた。
- 2) Ionomycin 誘発性 [<sup>3</sup>H]GABA 放出は、NO scavenger である hemoglobin および NO 合成酵素阻害薬である M-Arg および N-Arg により用量依存性に抑制された。
- 3) Na<sup>+</sup> 依存性 GABA 担体輸送阻害薬である nipecotic acid および NO-711 は用量依存性に ionomycin 誘発性 [<sup>3</sup>H]GABA 放出を抑制し、その最大抑制作用出現時には ionomycin 誘発性 [<sup>3</sup>H]GABA 放出は約 50% 減少した。
- 4) それぞれ L 型および P/Q 型 VDCC 阻害薬である nifedipine および  $\omega$ -ATX の共存下では ionomycin 誘発性 [<sup>3</sup>H]GABA 放出は約 50% 減少し、さらにこの条件下に nipecotic acid あるいは NO-711 を反応性に添加することにより ionomycin 誘発性 [<sup>3</sup>H]GABA 放出は完全に消失した。
- 5) Ionomycin 誘発性 [<sup>3</sup>H]GABA 放出は hydroxyl radical scavenger である dimethylthiou-

rea により用量依存性に増加した。

- 6) 以上の実験成績から、ionomycin 誘発性 [<sup>3</sup>H]GABA 放出は ionomycin による細胞内への Ca<sup>2+</sup> 流入に引き続く NOS 活性化とこれに伴うの生成を介して誘発されると考えられる。

## 謝 辞

稿を終えるにあたり、御指導と御校閲を賜りました川崎医科大学薬理学教室 大熊誠太郎教授に深甚なる謝意を捧げます。また研究を遂行するに当たり、種々の御指導を賜りました川崎医科大学循環器内科学教室 澤山俊民前教授、吉田清教授に深謝いたします。また、実験について直接御助言、御指導を頂いた川崎医科大学薬理学教室 桂 昌司先生に謝意を表するとともに、本研究の遂行にご協力頂いた薬理学教室員各位にも御礼申し上げます。また本研究の遂行に当たり御協力頂いた、RI センターおよび生化学センターの皆様にも厚くお礼申し上げます。なお、本研究の一部は文部省科学研究費（基盤 B (2) 10557247）の援助により行われました。

## 文 献

- 1) Liu C-M, Hermann TE : Characterization of ionomycin as a calcium ionophore. J Biol Chem 253 : 5892 – 5894, 1978
- 2) Beeler TJ, Jona I, Martonosi A : The effect of ionomycin on calcium influxes in sarcoplasmic reticulum vesicles and liposomes. J Biol Chem 254 : 6229 – 6231, 1979
- 3) Capogna M, Gahwiler BH, Thompson SM : Presynaptic inhibition of calcium-dependent and-independent release elicited with ionomycin, gadolinium, and  $\alpha$ -latrotoxin in the hippocampus. J Neurophysiol 75 : 2017 – 2028, 1996
- 4) Reiser G : Endothelin and a Ca<sup>2+</sup> ionophore raise cyclic GMP levels in a neuronal cell line via formation of nitric oxide. Br J Pharmacol 101 : 722 – 726, 1990
- 5) Alagarsamy S, Lonart G, Johnson KM : Regulation of nitric oxide synthetase activity in cortical slices by excitatory amino acids and calcium. J Neurosci Res 38 : 648 – 653, 1994
- 6) Rodriguez-Pascual F, Miras-Portugal MT, Torres M : Activation of NO : cGMP pathway by acetylcholine in bovine chromaffin cells. Possible role of Ca<sup>2+</sup> in the down-regulation of cGMP signaling. Biochem Pharmacol 50 : 763 – 769, 1996
- 7) Tsukahara H, Gordienko DV, Goligorsky MS : Continuous monitoring of nitric oxide release from human umbilical vein endothelial cells. Biochem Biophys Res Commun 193 : 722 – 729, 1993
- 8) Kemp BK, Smolich JJ, Ritchie BC, Cocks TM : Endothelium-dependent relaxations in sheep pulmonary arteries and veins : resistance to block by NG-nitro-L-arginine in pulmonary hypertension. Br J Pharmacol 116 : 2457 – 2467, 1995

- 9) He P, Liu B, Curry FE : Effect of nitric oxide synthetase inhibitors on endothelial  $[Ca^{2+}]_i$  and microvessel permeability. *Am J Physiol* 272 : H 176 – H 185, 1997
- 10) Zhu X-Z, Luo L-G : Effect of nitroprusside (nitric oxide) on endogenous dopamine release from rat striatal slices. *J Neurochem* 59 : 932 – 935, 1992
- 11) Prast H, Philippu A : Nitric oxide releases acetylcholine in the basal forebrain. *Eur J Pharmacol* 216 : 139 – 140, 1992
- 12) Ohkuma S, Katsura M, Guo J-L, Hasegawa T, Kuriyama K : Participation of peroxynitrite in acetylcholine release induced by nitric oxide generators. *Neurosci Lett* 183 : 151 – 154, 1995
- 13) Ohkuma S, Katsura M, Guo J-L, Hasegawa T, Kuriyama K : Involvement of peroxynitrite in N-methyl-D-aspartate- and sodium nitroprusside-induced release of acetylcholine from mouse cerebral cortical neurons. *Mol Brain Res* 31 : 185 – 193, 1995
- 14) Ohkuma S, Narihara H, Katsura M, Hasegawa T, Kuriyama K : Nitric oxide-induced  $[^3H]$  GABA release from cerebral cortical neurons is mediated by peroxynitrite. *J Neurochem* 65 : 1109 – 1114, 1995
- 15) Lonart G, Wang J, Johnson KM : Nitric oxide induces neurotransmitter release from hippocampal slices. *Eur J Pharmacol* 220 : 271 – 272, 1992
- 16) Blandini P, Johnson D, Walcott J, Goldfarb J : Release of endogenous norepinephrine from rat hypothalamus by stimulation of N-methyl-D-aspartic acid receptors. *J Pharmacol Exp Ther* 263 : 61 – 68, 1992
- 17) Krebs MO, Desce JM, Kemel ML, Gauchy C, Godehue G, Cheramy A, Growinski J : Glutamatergic control of dopamine release in the rat striatum : Evidence for presynaptic N-methyl-D-aspartate receptors of dopaminergic nerve terminals. *J Neurochem* 56 : 81 – 85, 1991
- 18) Martinez-Fong D, Rosales MG, Gongora-Alfaro JL, Hernandez S, Aceves J : NMDA receptor mediates dopamine release in the striatum of unanesthetized rats as measured by brain microdialysis. *Brain Res* 595 : 309 – 315, 1992
- 19) Drejer J, Honore T, Schousboe A : Excitatory amino acid-induced release of  $[^3H]$ -GABA from cultured mouse cerebral cortex interneurons. *J Neurosci* 7 : 2910 – 2916, 1987
- 20) Pin J-P, Van-Vliet BJ, Bockaert J : NMDA-and kainate-evoked GABA release from striatal neurones differentiated in primary culture : differential blocking by phencyclidine. *Neurosci Lett* 87 : 87 – 89, 1988
- 21) Dawson TM, Dawson VL, Snyder SH : A novel neuronal messenger molecule in brain : The free radical, nitric oxide. *Ann Neurol* 32 : 297 – 311, 1992
- 22) Snyder SH : Nitric oxide and neurons. *Curr Opin Neurobiol* 2 : 323 – 327, 1992
- 23) Ohkuma S, Tomono S, Tanaka Y, Kuriyama K, Mukainaka T : Development of taurine biosynthesizing system in cerebral cortical neurons in primary culture. *Int J Dev Neurosci* 4 : 383 – 395, 1986
- 24) Lowry OH, Rosenbrough NJ, Farr AL, Randall RJ : Protein measurement with the Folin phenol reagent. *J Biol Chem* 193 : 265 – 275, 1951
- 25) Ohkuma S, Katsura M, Chen D-Z, Narihara H, Kuriyama K : Nitric oxide-evoked  $[^3H]\gamma$ -aminobutyric acid release is mediated by two distinct release mechanisms. *Mol Brain Res* 36 : 137 – 144, 1996
- 26) Ohkuma S, Katsura M, Hibino Y, Xu J, Shirota K, Kuriyama K : Multiple actions of nitric acid on voltage-dependent  $Ca^{2+}$  channels in mouse cerebral cortical neurons. *Mol Brain Res* 54 : 133 – 140, 1998
- 27) Ohkuma S, Katsura M, Chen D-Z, Narihara H, Kuriyama K : Removal of hydroxyl radical increases nitric oxide generators-induced  $[^3H]$  GABA release from mouse cerebral cortical neurons. *Neurosci Lett* 194 : 101 – 104, 1995
- 28) Kaneko S, Maeda T, Kume T, Kochiyama H, Akaike A, Shimohama S, Kimura J : Nicotine protects cultured cortical neurons against glutamate-induced cytotoxicity via alpha 7-neuronal receptors and neuronal CNS receptors. *Brain Res* 7654 : 135 – 40, 1997
- 29) Shimohama S, Akaike A, Kimura J : Nicotine-induced protection against glutamate cytotoxicity –Nicotinic cholinergic receptor-mediated inhibition of nitric oxide formation-. *Ann NY Acad Sci* 777 : 356 – 61, 1996
- 30) Ohkuma S, Chen S-H, Katsura N, Chen D-Z, Kuriyama K : Muscimol prevents neuronal injury induced by NMDA.

- Jpn J Pharmacol 64 : 125 – 128, 1994
- 31) Hanbauer I, Wink D, Osawa Y, Edelman GM, Gally JA : Role of nitric oxide in NMDA-evoked release of [<sup>3</sup> H] - dopamine from striatal slices. Neuroreport 3 : 409 – 412, 1992
- 32) Montague PR, Gancayco CD, Winn MJ, Marchase RB, Friedlander MJ : Role of NO production in NMDA receptor-mediated neurotransmitter release in cerebral cortex. Science 263 : 973 – 977, 1994
- 33) Levi G, Raiteri M : Carrier-mediated release of neurotransmitters. Trends Pharmacol Sci 16 : 415 – 419, 1993
- 34) Wu SY, Dun SL, Forstermann U, Dun NJ : Nitric oxide and excitatory postsynaptic currents in immature rat sympathetic preganglionic neurons in vitro. Neurosci 79 : 237 – 245, 1979
- 35) Bains JS, Ferguson AV : Nitric oxide depolarizes type II paraventricular nucleus neurons in vitro. Neurosci 79 : 149 – 159, 1997
- 36) Beckman JS, Beckman TW, Chen J, Marshall PA, Freeman BA : Apparent hydroxyl radical production by peroxynitrite : Implications for endothelial injury from nitric oxide and superoxide. Proc Natl Acad Sci USA 87 : 1620 – 1624, 1990
- 37) Pfeiffer S, Gorren ACF, Schmidt K, Werner ER, Hansert B, Bohle S, Mayer B : Metabolic fate of peroxynitrite in aqueous solution –Reaction with nitric oxide and pH-dependent decomposition to nitrite and oxygen in 2 : 1 stoichiometry-. J Biol Chem 272 : 3465 – 3470, 1997
- 38) Ohkuma S, Katsura M, Chen D-Z, Narihara H, Kuriyama K : Facilitation of N-methyl-D-aspartate-evoked acetylcholine release by hydroxyl radical scavengers. Neuroreport 6 : 2033 – 2036, 1995
- 39) Ohkuma S, Katsura M, Chen D-Z, Guo J-L, Kuriyama K : Hydroxyl radical scavengers enhance nitric oxide-evoked acetylcholine release from mouse cerebral cortical neurons. Mol Brain Res 34 : 347 – 350, 1995
- 40) Ohkuma S, Katsura M, Hibino Y, Hara A, Shirotani K, Ishikawa E, Kuriyama K : Mechanisms for facilitation of nitric oxide-evoked [<sup>3</sup> H] GABA release by removal of hydroxyl radical. J Neurochem 71 : 1501 – 1510, 1998